

# 基于ROS的实训室工件智能整理机器人

张震 徐献圣

(佛山职业技术学院 广东佛山 528137)

**摘要:** 智能机器人专业交叉融合了人工智能、自动化控制、物联网等多种学科。教师在课堂上只讲授理论知识, 会使学生觉得非常枯燥, 不利于理解智能机器人相关内容。为了让学生深刻地学习理解智能机器人相关课程, 本文提出了一种基于ROS的智能机器人。

**关键词:** 智能机器人 教学平台 ROS 人工智能

**中图分类号:** TP242-4; G434 **文献标识码:** A

**DOI:** 10.12218/j.issn.2095-4743.2022.26.062

## 引言

如今信息化发展迅速, 人工智能与机器人构成的新型载体已经融入人们的日常生活中。教育部预测, 未来人工智能(含智能制造)相关十大领域在2025年将面临3000万的人才缺口。而人工智能与机器人是高职人才培养新专业布局的重点。根据《职业教育专业目录(2021年)》, 新增智能机器人技术专业, 会不断地有职业高校开设智能机器人等相关专业, 对于课程资源的需求就会迅速增长。因此, 对于实训室工件智能整理机器人的需求也日益增长。

## 一、创新点

1. 本文采用了自定义的坐标转换算法, 可以提高实训室工件分拣的精确度。
2. 本文采用了校准软件进行参照物对照校准, 提高了实训室工件分拣的精确度。
3. 本文采用了自定义的坐标转换算法, 提高了机械臂运动速度, 提高了实训室工件分拣的速度。

## 二、实现算法

### 1. 整体实现算法

智能整理实训室工件的机器人实现算法主要的流程如图1所示。

### 2. 目标预处理

#### (1) AR码标识符

由于不同实训室的工件外观型号不一, 通过视觉特征识别目标时计算量过大, 会降低分拣速率。因此, 本算法中, 机器人的识别目标是自制的AR code (Augmented Reality code, AR码)。识别目标一共有两种, 实训室工件和收纳箱。实训室工件主要有由一个小型方盒(本文采用的收纳盒

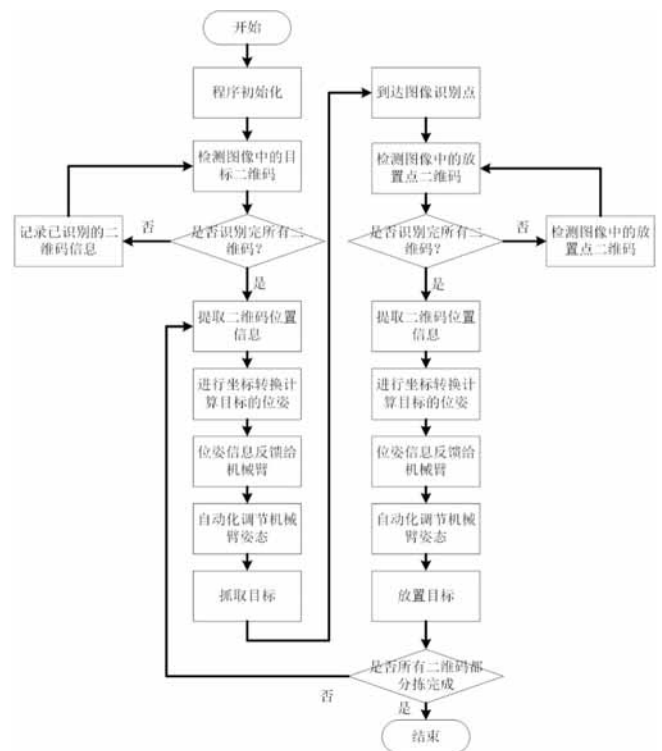


图1

体积为15\*15\*4厘米)装纳。方盒的中间位置贴上二维码标签。收纳箱也是贴上AR码坐标标识, 贴在收纳箱存放工件方盒的凹槽位置。

#### (2) 校准

由于二维码的制作工艺不同, 会导致二维码的大小不一, 影响AR码定位的精确度。因此, 需要一个参照物用于AR码的定位校准。本文案选用的是6×8的黑白相间的棋盘作为校准对象, 每个正方形都是2.4厘米的长度。校准的参数有横轴、纵轴、大小、弯曲四个校准标准。将棋盘的格子数量

和格子长宽预设好，然后启动校准程序，那么，程序将会以预设好大小的棋盘作为参照物用来定位AR码。

### 3. 分拣算法

目标预处理完成后，接下来是分拣算法。分拣算法是基于任务空间坐标系和关节空间坐标系的自定义算法。能够自动控制机械臂运动到目标处进行抓取运动。

#### (1) AR码定位

分拣的第一步是定位目标AR码位置。本文采用任务空间坐标系进行定位，构建两个坐标系。

第一坐标系是以摄像头为原点的任务空间三维坐标系。用于对AR码进行定位，能够通过ROS系统的AR码服务直接获取坐标数据。被定位的AR码坐标点假设为P1 (x1, y1, z1)。

第二坐标系是以机械臂底座中心作为原点的任务空间三维坐标系。用于描述机械臂与分拣目标AR码的位姿关系，并不能直接获取坐标数据。但是，可以直接获取摄像头相对于第二坐标系的位置，因为摄像头与机械臂的末端执行器位置相对固定。被定位的AR码坐标点假设为P2 (x2, y2, z2)，摄像头的坐标点假设为P0 (x0, y0, z0)。

那么获取P2点数据需要进行坐标转换。第一个坐标系的x轴与第二个坐标系的y轴平行，第一坐标系的y轴与第二坐标系的z轴平行，第一坐标系的z轴与第二坐标系的x轴平行。假设AR码第一坐标系的坐标点为P1，那么要得到AR码在第二坐标系的坐标点P2，可以引入坐标系转换公式：

$$P2(x_2, y_2, z_2) = \begin{cases} x_2 = z_1 + x_0 + C_x \\ y_2 = x_1 + y_0 + C_y \\ z_2 = y_1 + z_0 + C_z \end{cases}$$

其中，Cx, Cy, Cz为误差补偿常数，用于调整补偿坐标定位的误差，可以根据实际情况人为设置误差补偿常熟，提高AR码坐标P2的精准度，从而提高机械臂抓取目标的成功率。

获取到第二坐标系得AR码位置点P2后，主控模块将任务空间坐标通过任务空间坐标控制服务将P2的坐标点数据发

送给机械臂，机械臂的末端执行器就会到达的坐标点。

#### (2) 机械臂移动

当获得AR码的位置点P2后，机械臂则会自动控制自身关节，将末端执行器移动到P2位置的抓取点进行抓取目标。本文采用的是4自由度的机械臂，即任务空间坐标系的三轴以及围绕z轴旋转的4自由度。本文采用的机械臂一共是用4个关节来描述机械臂的姿态，因此会建立4个关节矢量维度的关节空间坐标系。

控制机械臂运动则是关节空间坐标，假设机械臂到达P2点的关节空间坐标为R (θ1, θ2, θ3, θ4)。即要进行坐标转换，计算R点的4个关节的转角。θ1是表示关节1的旋转角，其坐标系对应的是(x1,y1)，并且旋转轴心是z1轴；θ2是表示关节2的旋转角，其坐标系对应的而是(x2,y2)，以关节2舵机旋转轴截面构建二维平面坐标；θ3是表示关节3的旋转角，以关节3舵机旋转轴截面构建二维平面坐标，θ4是表示关节4的旋转角，以关节4舵机旋转轴截面构建二维平面坐标。L1表示连杆1的长度，L2表示连杆2的长度，L3表示连杆3的长度，L4表示连杆4的长度。

描述关节空间主要是通过D-H参数，4个关节的D-H表见表1所例：

通过机械臂逆运动学来进行坐标转换，首先要构建本方法的连杆变换矩阵，假设由第i-1连杆转换为第i连杆，那么就需要连杆矩阵 ${}^{i-1}T_i$ ，连杆矩阵的计算公式如下所示。

$${}^{i-1}T_i = \begin{pmatrix} c\theta_i & -s\theta_i & 0 & l_{i-1} \\ s\theta_i c a_{i-1} & c\theta_i c a_{i-1} & -s a_{i-1} & -s a_{i-1} d_i \\ s\theta_i s a_{i-1} & c\theta_i s a_{i-1} & c a_{i-1} & c a_{i-1} d_i \\ 0 & 0 & 0 & 1 \end{pmatrix}$$

其中，s表示sin，sθ表示sin(θ)，c表示cos，cθ表示cos(θ)。

其中， ${}^0T$ 的证运动学计算方程如下，矩阵J是表示从基座到末端执行器的旋转矩阵，而矩阵Q表示末端执行器基于基座坐标系的方向姿态，即末端执行器的任务空间坐标：

表1 关节空间D-H参数表

连杆	连杆长度 (单位mm)	连杆转角 (单位°)	连杆偏距 (单位mm)	关节角 (单位°)
连杆1	l1	a1	d1	θ1
连杆2	l2	a2	d2	θ2
连杆3	l3	a3	d3	θ3
连杆4	l4	a4	d4	θ4

$${}^0_4T = \begin{bmatrix} j_{11} & j_{12} & j_{13} & q_x \\ j_{21} & j_{22} & j_{23} & q_y \\ j_{31} & j_{32} & j_{33} & q_z \\ 0 & 0 & 0 & 1 \end{bmatrix} = \begin{bmatrix} J_{3 \times 3} & Q_{3 \times 1} \\ 0_{1 \times 3} & 1 \end{bmatrix} = {}^0_1T(\theta_1) {}^1_2T(\theta_2) {}^2_3T(\theta_3) {}^3_4T(\theta_4)$$

假设矩阵  ${}^i-1_iT$  的逆矩阵是  ${}^i-1_iT^{-1}$ ，那么四个自由度的关节角通过以下公式计算，首先是  $\theta_1$  的计算公式：

$${}^0_1T^{-1} {}^0_4T = {}^1_2T(\theta_2) {}^2_3T(\theta_3) {}^3_4T(\theta_4)$$

计算后，最后得到  $\theta_1$  的计算值为：

$$\theta_1 = \arctan\left(\frac{q_y}{q_x}\right), \theta_1 = \theta_1 + 180^\circ$$

因为关节2、3、4都是平行的，因此左乘  ${}^1_2T$  和  ${}^2_3T$  的逆矩阵都不会有效果，因此2、3、4的关节计算公式都是相同的，如下所示，其中E为4×4的单位矩阵：

$${}^3_4T^{-1} {}^2_3T^{-1} {}^1_2T^{-1} {}^0_1T^{-1} {}^0_4T = E$$

计算后，最后得到的  $\theta_2$ 、 $\theta_3$ 、 $\theta_4$  的公式如下：

$$\theta_{234} = \arctan\left(\frac{j_{33}}{c\theta_1 j_{13} + s\theta_1 j_{23}}\right), \theta_{234} = \theta_{234} + 180^\circ$$

那么，可以通过公式来计算关节空间坐标R点，机械臂可以通过R点来设置自身4个关节的转角，从而将末端执行器移动到目标AR码位置。

(3) 末端执行器抓取或放置。

末端执行器，是一个控制夹板的行程距离来进行夹取放置目标的夹爪。夹爪实际张开的距离为变量d，夹爪的最大行程值为dmax，通过行程系数q控制乘以夹爪的最大行程值

来得到实际张开距离d。实际是通过夹爪控制服务发送行程系数m来控制夹爪的值。夹爪的控制公式为。

$$d = m \times d_{\max}, 0 \leq m \leq 1$$

### 三、实验效果

#### 1. 硬件载体

本文所采用的硬件载体及参数见表2所例。

本文的自动化控制算法是装载在TX2主控模块中，使用液晶屏来编写开发机器人自动控制代码指令。

本文的智能机器人主要有一个4个关节的机械臂，并且有一个控制底座，一个末端执行器作为夹爪组成。

摄像头按照在末端执行器上方，用于获取目标坐标，目标坐标是以摄像头为原点的笛卡尔坐标。

具体的结构抽象图如图2所示。

#### 2. 软件载体

本文实验所用的运行环境是Ubuntu 18.04。采用的架构是ROS melodic版本。

算法软件开发环境是Python的2.7.14版本，Anaconda的5.3.1版本，Pycharm的11.0版本。采用Python语言开发实现本机器人的功能。

桌面应用采用Qt的5.15.3版本进行开发。采用Qt与Python开发了2个桌面应用。第一个是校准桌面应用，第二个是机械臂控制桌面应用（图3）。

#### 3. 实验结果

本实验是采用了100个实训室工件、10个收纳箱进行实验。通过控制变量法来提高实验的效果。

表2

名字	型号	数量
主控模块	NVIDIA JETSON TX2	1
工作台	长×宽：150×150（cm）	1
液晶显示屏	13.3寸	1
关节单元（底座）	VKESM-A3	1
关节单元（臂杆）	VKESM-A2	3
摄像头	1080P分辨率摄像头	1
末端执行器	行程15厘米	1
末端负载	2kg	1
电源适配器	DC 12V	1
底座尺寸	直径×高度：150×90（mm）	1

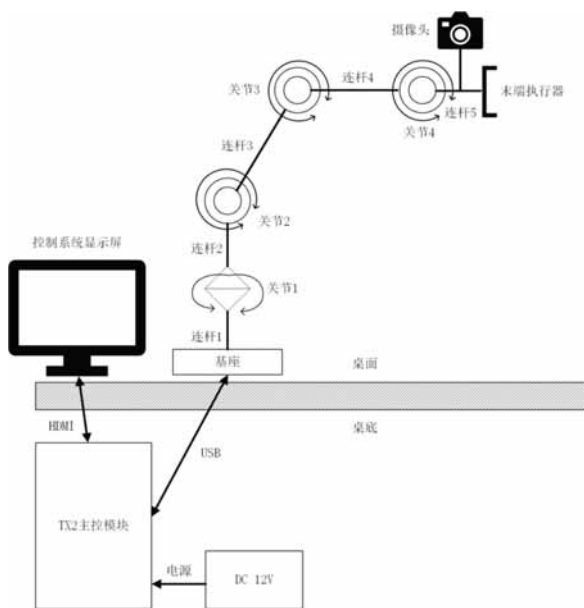


图2



图3

最终的实验结果能在10分钟内能完成100个实训室工件放置到收纳箱中。

### 结语

本文能够在短时间内将实训室工件放置归位到收纳箱中，能够解决实训室工件整理难的痛点。但是二维码作为标识码的局限性很大，因此需要其他的替代识别目标的方式。

### 参考文献

- [1]安峰. 基于开源操作系统ROS的机器人软件开发[J]. 单片机与嵌入式系统应用, 2017, 17(5):4.
- [2]颜兵兵, 牛昊维, 刘启生,等. 基于ROS的果实采摘机器人实验教学设计[J]. 实验技术与管理, 2021, 38(10):6.